

Figura 1

Secvența de aminoacizi a domeniului greu variabil al MOR00208 este (CDR-urile sunt bolduite și subliniate):

EVQLVESGGGLVKPGGSLKLSCAASGYTFTS**YVVMHWVRQAPGKGLEWIGYI**
NPYNDGT^{KYNEKFQGRVTISSDKSISTAYMELSSLRSEDAMYYCARGTYYYCAR**GTYYY**}

GTRVFDYWG QGTLTVSS (SEQ ID NO: 10)

Secvența de aminoacizi a domeniului ușor variabil al MOR00208 este (CDR-urile sunt bolduite și subliniate):

DIVMTQSPATLSLSPGERATLSCR**RSSKSLQNVNGNTLY**WFQQKPGQQSPQL
LIY**RMSNLNS**GVPDRFSGSGSGTEFTLTISSEPEDFAVYYC**MQHLEYPIT**FG
AGTKLEIK (SEQ ID NO: 11)

Secvența de aminoacizi a HCDR1 a MOR00208 este: SYVMH (SEQ ID NO: 1)

Secvența de aminoacizi a HCDR2 a MOR00208 este: NPYNDG (SEQ ID NO: 2)

Secvența de aminoacizi a HCDR3 a MOR00208 este: GTYYYGTRVFDY (SEQ ID NO: 3)

Secvența de aminoacizi a LCDR1 a MOR00208 este: RSSKSLQNVNGNTLY (SEQ ID NO: 4)

Secvența de aminoacizi a LCDR2 a MOR00208 este: RMSNLNS (SEQ ID NO: 5)

Secvența de aminoacizi a LCDR3 a MOR00208 este: MQHLEYPIT (SEQ ID NO: 6)

Figura 2

Secvența de aminoacizi a lanțului greu al MOR00208 este:

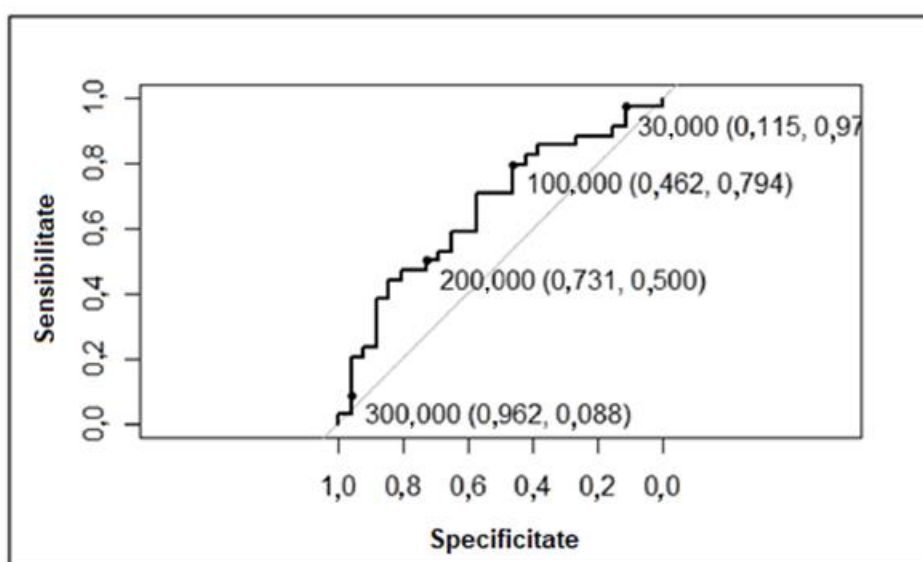
EVQLVESGGGLVKPGGSLKLSCAASGYTFTSYVVMHWVRQAPGKGLEWIGYINPYN
DG^{KYNEKFQGRVTISSDKSISTAYMELSSLRSEDAMYYCARGTYYYGTRVFDYWGQQGTL}
VT^{VSSASTKGPSVFPLAPSKSTSGGTAALGCLVKDYFPEPVTVWSNSGALTSGVHTFPBV}
LQSSGLYSLSVVTV^{PSSSLGTQTYICNVNHHKPSNTKVDDKKVEPKSCDKTHCPPCPAPELL}
GGPDVFLFPPKPKDTLMISRTPEVTCVVVDVS^{HEDPEVQFNWYVDGVEVHNAAKTPREEQ}
FN^{STFRVSVLTVVHQDWLNGKEYKCKVSNKALPAPEEKTI}SKTKGQP^{REPQVYTLPPSRE}
EMTKNQVSLTCLVKGF^{YPSDIAWEWESNGQPENNYKTTPMLSDGSFFLYSKLTVDKSR}
WQQGNVFCSV^{MHEALHNHYTQKSLSLSPGK} (SEQ ID NO: 8)

Secvența de aminoacizi a lanțului ușor al MOR00208 este:

DIVMTQSPATLSLSPGERATLSCR**RSSKSLQNVNGNTLY**WFQQKPGQQSPQLLIYRMSNLN
SGVPDRFSGSGSGTEFTLTISSEPEDFAVYYCMQHLEYPITFGAGTKLEIKRTVAAPSVFIF
PPSDEQLKSGTASVVCLNNFYPREAKVQW^{KVDNALQSGNSQESVTEQDSKDSTYSLST}
LTLSK ADYEKH^{KVYACEVTHQGLSSPVTKS}FNR^{GEC} (SEQ ID NO: 9)

Figura 3

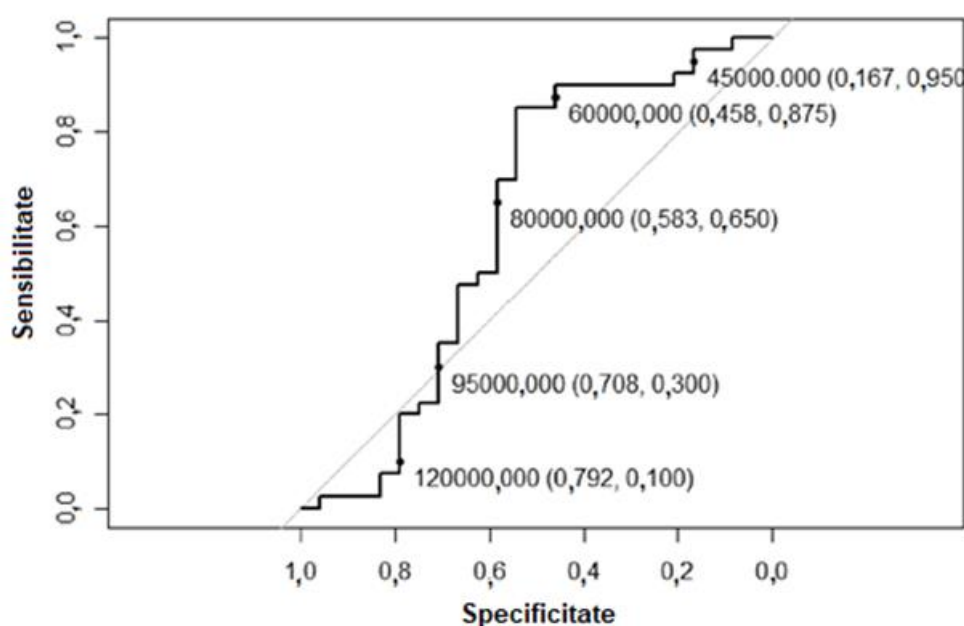
Determinarea minimului numărului de celule NK periferice prin analiză ROC



Analiza caracteristicii de funcționare a receptorului (ROC) a numărului de celule NK periferice (celule/ μ l) ca un predictor pentru rata de control a bolii (CR, PR, DS vs PD, ET) la pacienții cu DLBCL și iNHL. Sunt afișate diferite minime funcție de valorile de specificitate și sensibilitate. AUC = 0,66. CR-remisie completă, PR-remisie parțială, SD-boală stabilă, PD-boală progresivă, ET-terminare timpurie, ABC-antigeni legați la celulă.

Figura 4

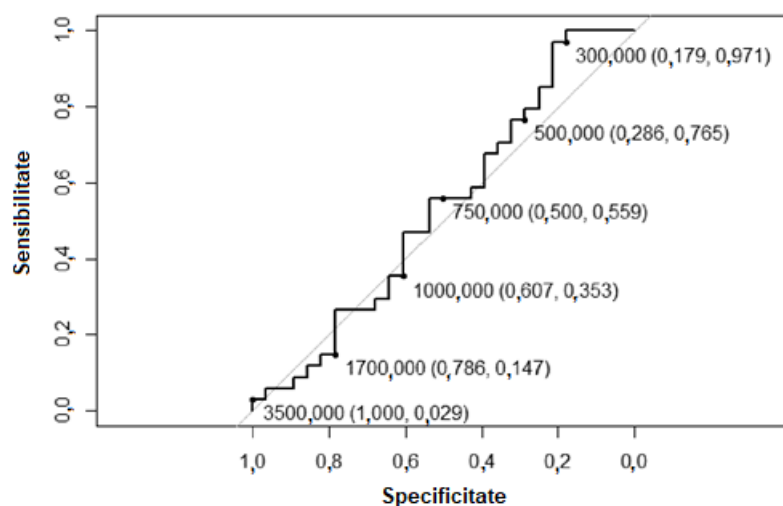
Determinarea minimului pentru expresia CD16 (ABC) prin analiză ROC



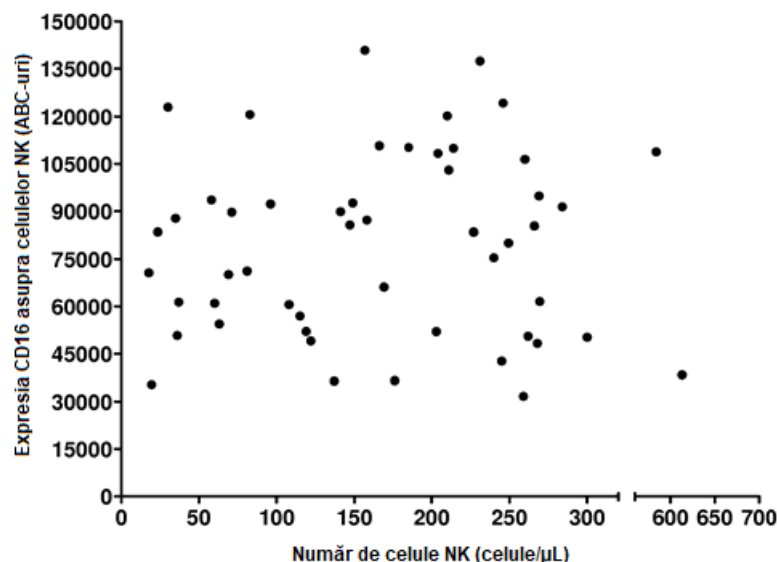
Analiza caracteristicii de funcționare a receptorului (ROC) a numărului de celule NK periferice (celule/ μ l) ca un predictor pentru rata de control a bolii (CR, PR, DS vs PD, ET) la pacienții cu DLBCL și iNHL. Sunt afișate diferite minime funcție de valorile de specificitate și sensibilitate. AUC = 0,61. CR-remisie completă, PR-remisie parțială, SD-boală stabilă, PD-boală progresivă, ET-terminare timpurie, ABC-antigeni legați la celulă.

Figura 5

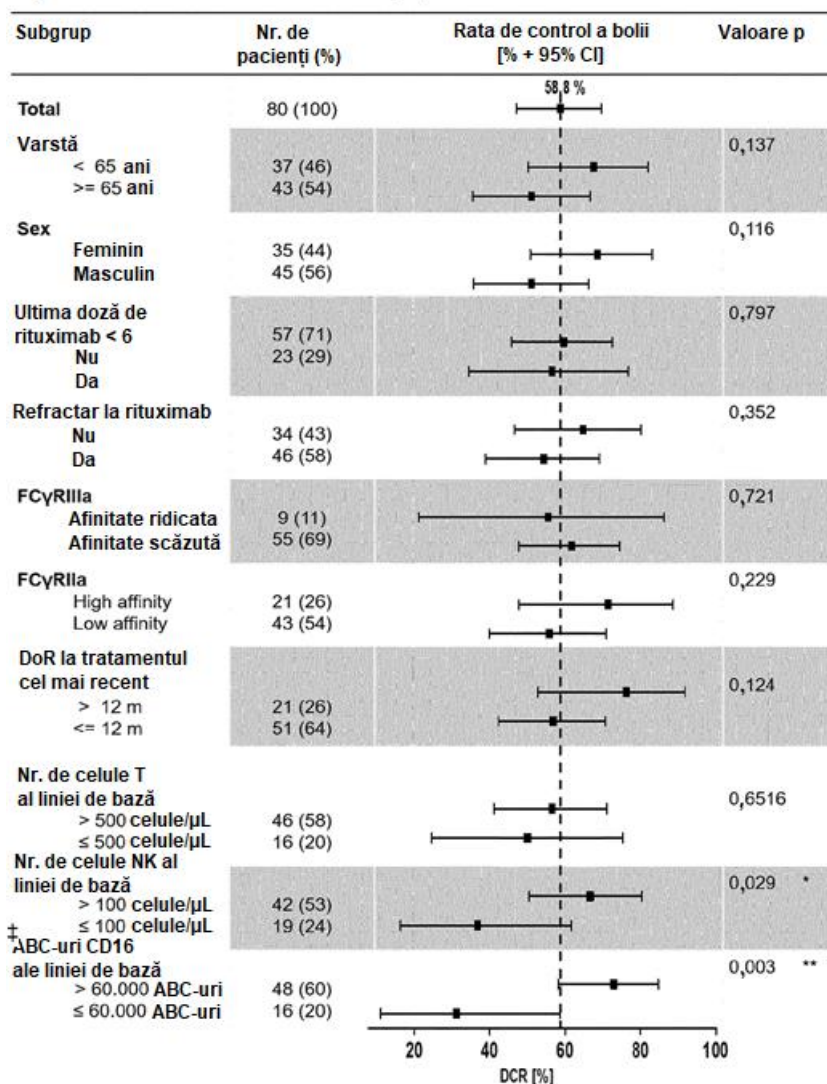
Determinarea minimului numărului de celule T periferice prin analiză ROC



Analiza caracteristicii de funcționare a receptorului (ROC) a numărului de celule NK periferice (celule/ μ L) ca un predictor pentru rata de control a bolii (CR, PR, DS vs PD, ET) la pacienții cu DLBCL și iNHL. Sunt afișate diferite minime funcție de valorile de specificitate și sensibilitate. AUC = 0,53. CR-remisie completă, PR-remisie parțială, SD-boală stabilă, PD-boală progresivă, ET-terminare timpurie, ABC-antigeni legați la celulă.

Figura 6

ABC-antigeni legați pe celulă. Analiză de corelație: r Pearson = 0,019 cu două valori p terminal = 0,9; r Spearman neparametric = 0,036 cu două valori p terminale = 0,8; n = 51.

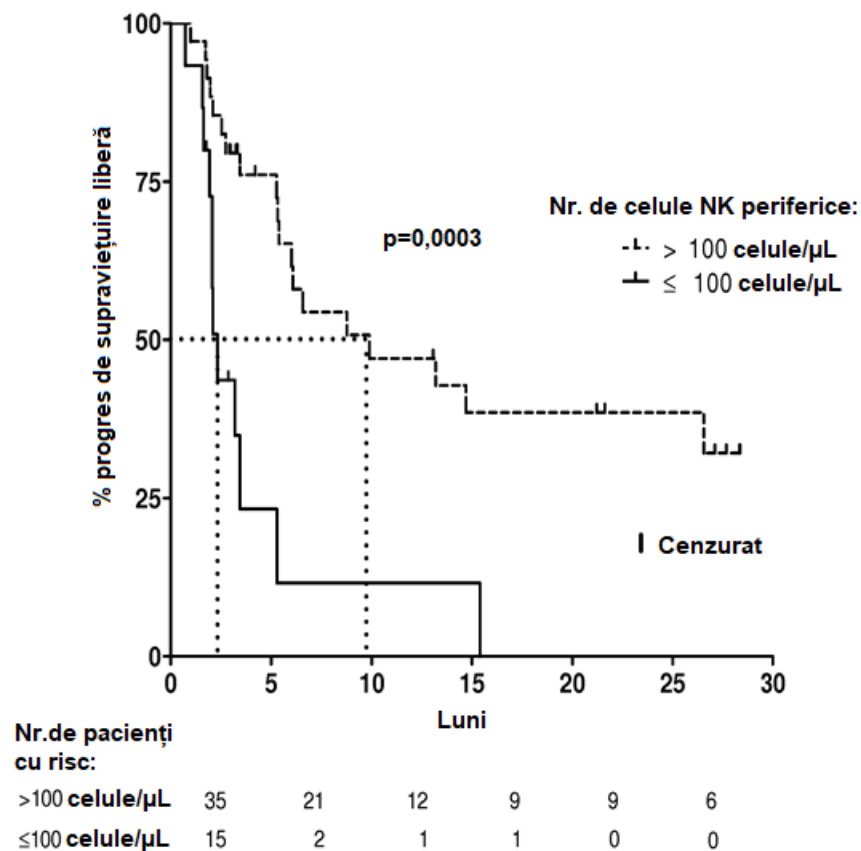
Figura 7. Grafic Forest cu analiză de subgrupa ratei de control a bolii

† intervale de încredere Clopper Pearson; ‡ test χ^2 neajustat (bidirecțional)

de rate DCR. DoR, durata de răspuns; IPI, index de prognoză internațional.

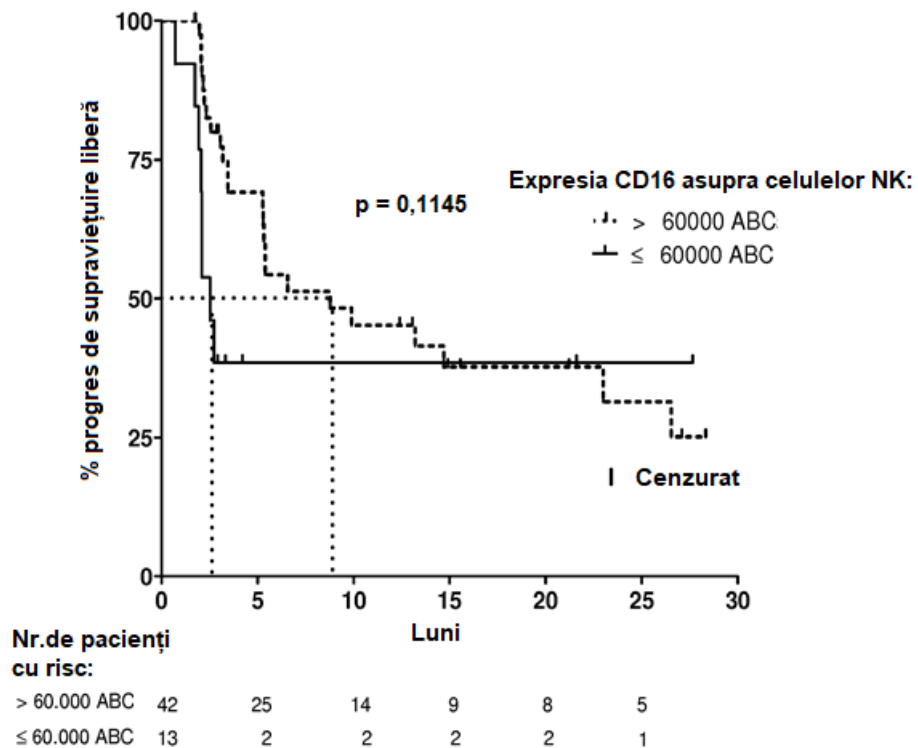
* $p < 0,05$, ** $p < 0,01$.

Figura 8 Analiza subgrupelor de progres de supraviețuire liberă (PFS)



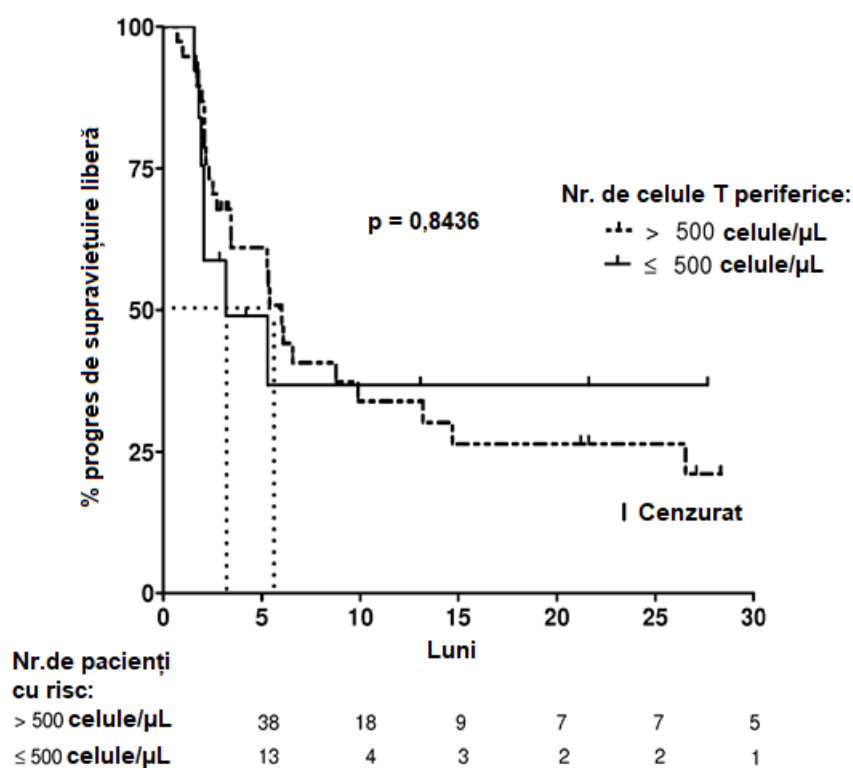
Pacienții fără evaluare radiologică a tumorii post linie de bază au fost cenzurați la linia de bază. PFS, progresul de supraviețuire liberă. Valoare p de rang log neajustată = 0,0003.

Figura 9 Analiza subgrupelor de progres de supraviețuire liberă (PFS)



Pacienții fără evaluare radiologică a tumorii post linie de bază au fost cenzurați la linia de bază. PFS, progresul de supraviețuire liberă. Valoare p de rang log neajustată = 0,1145

Figura 10 Analiza subgrupelor de progres de supraviețuire liberă (PFS)



Pacienții fără evaluare radiologică a tumorii post linie de bază au fost cenzurați la linia de bază. PFS, progresul de supraviețuire liberă. Valoare p de rang log neajustată = 0,8436.